

L'ABC du télescopeage créatif

Algorithmes, Bornes, Complexités

Frédéric Chyzak

ÉPI Algo (1994–2012), ÉPI SpecFun (2012–)

Soutenance d'HDR, le 14 avril 2014

Thématique de recherche

Calcul formel

- **sommation et intégration** symboliques des **fonctions spéciales**
- **complexité** des algorithmes sur les opérateurs fonctionnels linéaires
- aspects **non commutatifs** (polynômes, bases de Gröbner)

Objet central : opérateurs linéaires différentiels / de récurrence

Thématique de recherche

Calcul formel

- **sommation et intégration** symboliques des **fonctions spéciales**
- **complexité** des algorithmes sur les opérateurs fonctionnels linéaires
- aspects **non commutatifs** (polynômes, bases de Gröbner)

Objet central : opérateurs linéaires différentiels / de récurrence

Incursions dans d'autres domaines / Applications :

- combinatoire énumérative (fonctions symétriques, arbres, marches)
- algorithmique (mots) ; automatique ; ondelettes
- encyclopédie mathématique interactive en ligne (DDMF)
- preuves formelles

Plan

- 1 Introduction au télescope créatif
- 2 Généralisations à des classes de plus en plus grandes
- 3 Vers la complexité du télescope créatif
- 4 Utilisation rigoureuse du télescope créatif
- 5 Perspectives

- 1 Introduction au télescopage créatif
- 2 Généralisations à des classes de plus en plus grandes
- 3 Vers la complexité du télescopage créatif
- 4 Utilisation rigoureuse du télescopage créatif
- 5 Perspectives

Fil conducteur : sommation et intégration des fonctions spéciales

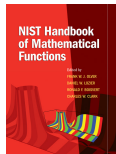
Et aussi : suites combinatoires, polynômes orthogonaux, etc.

$$\sum_{i=0}^n \sum_{j=0}^n \binom{i+j}{i}^2 \binom{4n-2i-2j}{2n-2i} = (2n+1) \binom{2n}{n}^2 \quad (\text{Blodgett, 1990})$$

$$\int_0^{+\infty} x J_1(ax) I_1(ax) Y_0(x) K_0(x) dx = -\frac{\ln(1-a^4)}{2\pi a^2} \quad (\text{Glasser, Montaldi, 1994})$$

$$\int_{-1}^{+1} \frac{e^{-px} T_n(x)}{\sqrt{1-x^2}} dx = (-1)^n \pi I_n(p)$$

$$\sum_{j=0}^n \sum_{i=0}^{n-j} \frac{q^{(i+j)^2+j^2}}{(q; q)_{n-i-j} (q; q)_i (q; q)_j} = \sum_{k=-n}^n \frac{(-1)^k q^{7/2k^2+1/2k}}{(q; q)_{n+k} (q; q)_{n-k}} \quad (\text{Paule, 1985})$$



Évaluations symboliques + Preuves d'identités

Principe du télescopage créatif pour les sommes paramétrées

La suite d'Apéry est

$$F_n = \sum_{k=0}^n f_{n,k} \quad \text{pour} \quad f_{n,k} = \binom{n}{k}^2 \binom{n+k}{k}^2.$$

L'égalité de télescopage créatif

$$(n+2)^3 f_{n+2,k} - (2n+3)(17n^2 + 51n + 39)f_{n+1,k} + (n+1)^3 f_{n,k} =$$

$$\left[- \frac{4(2n+3)j^4(4n^2 - 2j^2 + 12n + 3j + 8)}{(n+1-j)^2(n+2-j)^2} f_{n,j} \right]_{j=k}^{j=k+1}$$

justifie l'identité

$$(n+2)^3 F_{n+2} - (2n+3)(17n^2 + 51n + 39)F_{n+1} + (n+1)^3 F_n = 0.$$

Principe du télescopage créatif pour les sommes paramétrées

La suite d'Apéry est

$$F_n = \sum_{k=0}^n f_{n,k} \quad \text{pour} \quad f_{n,k} = \binom{n}{k}^2 \binom{n+k}{k}^2.$$

L'égalité de télescopage créatif

$$\begin{aligned} & \left((n+2)^3 S_n^2 - (2n+3)(17n^2 + 51n + 39)S_n + (n+1)^3 \right) f = \\ & (S_k - 1) \left(- \frac{4(2n+3)k^4(4n^2 - 2k^2 + 12n + 3k + 8)}{(n+1-k)^2(n+2-k)^2} f \right) \end{aligned}$$

justifie l'identité

$$\left((n+2)^3 S_n^2 - (2n+3)(17n^2 + 51n + 39)S_n + (n+1)^3 \right) F = 0.$$

$$S_n n = (n+1)S_n, \quad S_k k = (k+1)S_k \quad \text{dans} \quad \mathbb{Q}(n, k) \langle S_n, S_k \rangle$$

Principe du télescopeage créatif pour les sommes paramétrées

La suite d'Apéry est

$$F_n = \sum_{k=0}^n f_{n,k} \quad \text{pour} \quad f_{n,k} = \binom{n}{k}^2 \binom{n+k}{k}^2.$$

L'égalité de télescopeage créatif

$$Pf = (S_k - 1)(Qf)$$

justifie l'identité

$$PF = 0.$$

Télescopeur : $P = (n+2)^3 S_n^2 - (2n+3)(17n^2 + 51n + 39)S_n + (n+1)^3.$

Certificat : $Q = -\frac{4(2n+3)k^4(4n^2 - 2k^2 + 12n + 3k + 8)}{(n+1-k)^2(n+2-k)^2}.$

Principe du télescopage créatif pour les sommes paramétrées

La suite d'Apéry est

$$F_n = \sum_{k=0}^n f_{n,k} \quad \text{pour} \quad f_{n,k} = \binom{n}{k}^2 \binom{n+k}{k}^2.$$

L'égalité de télescopage créatif

$$Pf = (S_k - 1)(Qf)$$

justifie l'identité

$$PF = 0.$$

Terminologie de « *creative telescoping* »
introduite par van der Poorten (1979)

Principe du télescopage créatif pour les intégrales paramétrées

La fonction de Green du réseau carré est

$$F(z) = \int_0^1 \int_0^1 f(x, y, z) \, dx \, dy \quad \text{pour} \quad f(x, y, z) = \frac{1}{(1 - xyz)\sqrt{1 - x^2}\sqrt{1 - y^2}}.$$

L'égalité de télescopage créatif

$$\begin{aligned} z(1 - z^2) \frac{\partial^2 f}{\partial z^2} + (1 - 3z^2) \frac{\partial f}{\partial z} - zf = \\ \frac{\partial}{\partial x} \left(-\frac{xz(1 - x^2)}{1 - x^2 z^2} f \right) + \frac{\partial}{\partial y} \left(-\frac{x(1 - y^2)(1 - 2z^2 + x^2 z^2)}{(1 - x^2 z^2)^2} f \right) \end{aligned}$$

justifie l'identité

$$z(1 - z^2) \frac{\partial^2 F}{\partial z^2} + (1 - 3z^2) \frac{\partial F}{\partial z} - zF = 1.$$

Principe du télescopage créatif pour les intégrales paramétrées

La fonction de Green du réseau carré est

$$F(z) = \int_0^1 \int_0^1 f(x, y, z) \, dx \, dy \quad \text{pour} \quad f(x, y, z) = \frac{1}{(1 - xyz)\sqrt{1 - x^2}\sqrt{1 - y^2}}.$$

L'égalité de télescopage créatif

$$\begin{aligned} & \left(z(1 - z^2)D_z^2 + (1 - 3z^2)D_z - z \right) f = \\ & D_x \left(-\frac{xz(1 - x^2)}{1 - x^2z^2} f \right) + D_y \left(-\frac{x(1 - y^2)(1 - 2z^2 + x^2z^2)}{(1 - x^2z^2)^2} f \right) \end{aligned}$$

justifie l'identité

$$\left(z(1 - z^2)D_z^2 + (1 - 3z^2)D_z - z \right) F = 1.$$

$$D_x x = xD_x + 1, \quad D_y y = yD_y + 1, \quad D_z z = zD_z + 1 \quad \text{dans} \quad \mathbb{Q}(x, y, z)\langle D_x, D_y, D_z \rangle$$

Principe du télescopage créatif pour les intégrales paramétrées

La fonction de Green du réseau carré est

$$F(z) = \int_0^1 \int_0^1 f(x, y, z) dx dy \quad \text{pour} \quad f(x, y, z) = \frac{1}{(1 - xyz)\sqrt{1 - x^2}\sqrt{1 - y^2}}.$$

L'égalité de télescopage créatif

$$Pf = D_x(Q_1f) + D_y(Q_2f)$$

justifie l'identité

$$PF = 1.$$

Télescopeur : $P = z(1 - z^2)D_z^2 + (1 - 3z^2)D_z - z.$

Certificat : $(Q_1, Q_2) = \left(-\frac{xz(1 - x^2)}{1 - x^2z^2}, -\frac{x(1 - y^2)(1 - 2z^2 + x^2z^2)}{(1 - x^2z^2)^2} \right).$

Le télescopage créatif, un schéma commun pour \int et Σ

$$f(x, y), \quad \mathbb{K}(x, y) \langle \partial_x, \partial_y \rangle$$



Télescopeur
 $P \in \mathbb{K}(x) \langle \partial_x \rangle$

$$Pf(x, y) = \Delta_y g(x, y)$$

Certificat
 $g(x, y)$

$$\Delta_y = D_y \text{ ou } \Delta_y = S_y - 1$$



PF = combinaison linéaire de spécialisations de g ,

$$\text{pour } F(x) = \int_a^b f(x, y) \, dy \quad \text{ou} \quad F(x) = \sum_{y=a}^b f(x, y).$$

Le télescopage créatif, un schéma commun pour \int et Σ

$$f(x, y), \quad \mathbb{K}(x, y)\langle \partial_x, \partial_y \rangle$$



Télescopeur
 $P \in \mathbb{K}(x)\langle \partial_x \rangle$

$$Pf(x, y) = \Delta_y g(x, y)$$

Certificat
 $g = Qf$

$$\Delta_y = D_y \text{ ou } \Delta_y = S_y - 1$$

Quels algorithmes pour trouver (P, g) à partir de f ?

- 1 Introduction au télescopage créatif
- 2 Généralisations à des classes de plus en plus grandes
- 3 Vers la complexité du télescopage créatif
- 4 Utilisation rigoureuse du télescopage créatif
- 5 Perspectives

Suites hypergéométriques — Fonctions hyperexponentielles

Équations d'ordre 1

Définition

Un terme h est *hypergéométrique* si les quotients

$$\frac{h_{n+1,k}}{h_{n,k}} \quad \text{et} \quad \frac{h_{n,k+1}}{h_{n,k}}$$

sont donnés par des fractions rationnelles en n et k .

Idéalisation de suites telles α^n , $n!$, $\binom{n}{k}$,
factorielles descendantes
 $n^{\underline{k}} = n(n-1)\cdots(n-k+1)$.

Définition

Un terme h est *hyperexponentiel* si les dérivées logarithmiques

$$\frac{\frac{d}{dx}h(x,y)}{h(x,y)} \quad \text{et} \quad \frac{\frac{d}{dy}h(x,y)}{h(x,y)}$$

sont données par des fractions rationnelles en x et y .

Exemples : x^α , $\exp x$, $y \exp \frac{y}{1-x^3}$.

Algorithme de Zeilberger (1991)

ENTRÉE : un terme **hypergéométrique** $f_{n,k}$.

SORTIE : des fractions rationnelles $p_0(n), \dots, p_r(n), Q(n, k)$ pour r **minimal**, telles que $p_r(n)f_{n+r,k} + \dots + p_0(n)f_{n,k} = Q(n, k+1)f_{n,k+1} - Q(n, k)f_{n,k}$.

Principes

- Calculer pour des valeurs croissantes de $r = 0, 1, \dots$
- Rechercher une somme indéfinie du membre gauche par une variation de l'**algorithme de décision** de Gosper (1978).

Variantes pour le différentiel, le q -calcul, les cadres mixtes.

Algorithme de Zeilberger (1991)

ENTRÉE : un terme **hypergéométrique** $f_{n,k}$.

SORTIE : des fractions rationnelles $p_0(n), \dots, p_r(n), Q(n, k)$ pour r **minimal**, telles que $p_r(n)f_{n+r,k} + \dots + p_0(n)f_{n,k} = Q(n, k+1)f_{n,k+1} - Q(n, k)f_{n,k}$.

Principes

- Calculer pour des valeurs croissantes de $r = 0, 1, \dots$
- Rechercher une somme indéfinie du membre gauche par une variation de l'**algorithme de décision** de Gosper (1978).

Variantes pour le différentiel, le q -calcul, les cadres mixtes.

Terminaison

- garantie dans le cas « holonome », non garantie en général,
- critère explicite pour le cadre pur des récurrences par Abramov (2003),
- **critères pour cadres mixtes** dans (Chen, Chyzak, Feng, Fu, Li, (soumis)).

L'équation comme structure de données

Constat : toute base de données d'identités est incomplète.



Thèse

Représenter implicitement les suites et fonctions spéciales comme solutions de systèmes linéaires différentiels et de récurrences permet une algorithmique uniforme.

Exemple : la famille des fonctions de Bessel $J_n(x)$ vérifie

$$x^2 J_n''(x) + x J_n'(x) + (x^2 - n^2) J_n(x) = 0,$$

$$x J_n'(x) + x J_{n+1}(x) = n J_n(x),$$

$$J_{n+2}(x) + J_n(x) = 2(n+1) J_{n+1}(x).$$

L'équation comme structure de données

Constat : toute base de données d'identités est incomplète.



Thèse

Représenter implicitement les suites et fonctions spéciales comme solutions de systèmes linéaires différentiels et de récurrences permet une algorithmique uniforme.

Exemple : la famille des fonctions de Bessel $J_n(x)$ vérifie

$$\begin{aligned}x^2 J_n''(x) + x J_n'(x) + (x^2 - n^2) J_n(x) &= 0, \\ x J_n'(x) + x J_{n+1}(x) &= n J_n(x), \\ J_{n+2}(x) + J_n(x) &= 2(n+1) J_{n+1}(x).\end{aligned}$$

Pour de « vraies » fonctions : ajouter des conditions initiales

L'équation comme structure de données

Constat : toute base de données d'identités est incomplète.



Thèse

Représenter implicitement les suites et fonctions spéciales comme solutions de systèmes linéaires différentiels et de récurrences permet une algorithmique uniforme.

Exemple : la famille des fonctions de Bessel $J_n(x)$ vérifie

$$\begin{aligned}x^2 J_n''(x) + x J_n'(x) + (x^2 - n^2) J_n(x) &= 0, \\x J_n'(x) + x J_{n+1}(x) &= n J_n(x), \\J_{n+2}(x) + J_n(x) &= 2(n+1) J_{n+1}(x).\end{aligned}$$

Pour de « vraies » fonctions : ajouter des conditions initiales et des coupures (Chyzak, Davenport, Koutschan, Salvy, 2011)

Fonctions ∂ -finies

(Chyzak, Salvy, 1998)

 t est ∂ -fini par rapport à l'algèbre tordue $\mathbb{K}(x_1, \dots, x_m) \langle \partial_1, \dots, \partial_m \rangle$ \Leftrightarrow les $\partial_1^{\alpha_1} \dots \partial_m^{\alpha_m} t$ engendrent un $\mathbb{K}(x_1, \dots, x_m)$ -espace vectoriel de
dimension finie $\Rightarrow t$ est décrit par des équations fonctionnelles linéaires d'ordre supérieur.

Fonctions ∂ -finies

(Chyzak, Salvy, 1998)

 t est ∂ -fini par rapport à l'algèbre tordue $\mathbb{K}(x_1, \dots, x_m) \langle \partial_1, \dots, \partial_m \rangle$ les $\partial_1^{\alpha_1} \dots \partial_m^{\alpha_m} t$ engendrent un $\mathbb{K}(x_1, \dots, x_m)$ -espace vectoriel de dimension finie $\Rightarrow t$ est décrit par des équations fonctionnelles linéaires d'ordre supérieur.Clôtures par $+$, \times , les ∂_i (Chyzak, Salvy, 1998)

- Idéal annulateur \rightarrow base de Gröbner tordue \rightarrow formes normales en dimension finie
- Algorithme itératif par recherche de dépendances linéaires

Clôtures par \int , Σ

- Heuristiques par bases de Gröbner tordues (Chyzak, Salvy, 1998)
- Généralisation de l'algorithme de Zeilberger (Chyzak, 2000)

 \rightsquigarrow simplification et test à zéro des expressions ∂ -finies.

Fonctions ∂ -finies

(Chyzak, Salvy, 1998)

 t est ∂ -fini par rapport à l'algèbre tordue $\mathbb{K}(x_1, \dots, x_m) \langle \partial_1, \dots, \partial_m \rangle$ les $\partial_1^{\alpha_1} \dots \partial_m^{\alpha_m} t$ engendrent un $\mathbb{K}(x_1, \dots, x_m)$ -espace vectoriel de dimension finie $\Rightarrow t$ est décrit par des équations fonctionnelles linéaires d'ordre supérieur.Clôtures par $+$, \times , les ∂_i (Chyzak, Salvy, 1998)

- Idéal annulateur \rightarrow base de Gröbner tordue \rightarrow formes normales en dimension finie
- Algorithme itératif par recherche de dépendances linéaires

Clôtures par \int , Σ

- Heuristiques par bases de Gröbner tordues (Chyzak, Salvy, 1998)
- Généralisation de l'algorithme de Zeilberger (Chyzak, 2000)

 \rightsquigarrow simplification et test à zéro des expressions ∂ -finies.

Implantation : packages Ore_algebra, Groebner, Mgfund (1994–) pour Maple.

Algorithme de Chyzak (Chyzak, 2000)

ENTRÉE :	$\begin{cases} \text{un terme } \partial\text{-fini } u \text{ par rapport à } A = \mathbb{K}(x, y) \langle \partial_x, \partial_y \rangle, \\ \text{une base de Gröbner } G \text{ de } \text{ann } u. \end{cases}$
SORTIE :	$\begin{cases} P \in \mathbb{K}(x) \langle \partial_x \rangle, \\ Q \in A \text{ en forme normale modulo } G \text{ et tel que } Pu = \Delta_y Qu. \end{cases}$

Principes

- Coefficients indéterminés pour $P = p_r(x)\partial_x^r + \dots + p_0(x)$
et $Q = \sum_{i,j} q_{i,j}(x,y)\partial_x^i\partial_y^j$ (somme « sous l'escalier »).
- Forme normale pour $P - \Delta_y Q \rightarrow$ système **paramétré** d'ordre 1.
- Découplage \rightarrow équations d'ordre supérieur \rightarrow **résolution** par des **variantes** des **algorithmes de décision** d'Abramov (1971-).

Algorithme de Chyzak (Chyzak, 2000)

ENTRÉE :	$\begin{cases} \text{un terme } \partial\text{-fini } u \text{ par rapport à } A = \mathbb{K}(x, y) \langle \partial_x, \partial_y \rangle, \\ \text{une base de Gröbner } G \text{ de } \text{ann } u. \end{cases}$
SORTIE :	$\begin{cases} P \in \mathbb{K}(x) \langle \partial_x \rangle, \\ Q \in A \text{ en forme normale modulo } G \text{ et tel que } Pu = \Delta_y Qu. \end{cases}$

Principes

- Coefficients indéterminés pour $P = p_r(x)\partial_x^r + \dots + p_0(x)$ et $Q = \sum_{i,j} q_{i,j}(x,y)\partial_x^i\partial_y^j$ (somme « sous l'escalier »).
- Forme normale pour $P - \Delta_y Q \rightarrow$ système paramétré d'ordre 1.
- Découplage \rightarrow équations d'ordre supérieur \rightarrow résolution par des variantes des algorithmes de décision d'Abramov (1971-).
- Alternative : implémenter les algos directs (Barkatou, 1999) avec paramètres ?
- Complexité du découplage dans (Bostan, Chyzak, Panafieu, 2013).
- Heuristique efficace sans découplage par (Koutschan, 2010).

Sommutations et intégrations itérées

(Chyzak, 2000) :

- ① Remplacer $P = p_r(x)\partial_x^r + \dots + p_0(x)$ par $P = \sum_{0 \leq i+j \leq r} p_{i,j}(x,y)\partial_x^i \partial_y^j$ permet de calculer $\text{ann} \tilde{f}$ pour :

$$\tilde{f}(x,y) = \int_a^b f(x,y,z) dz, \quad \tilde{f}_{x,y} = \sum_{z=a}^b f_{x,y,z}, \quad \text{etc.}$$

- ② Appliquer l'algorithme de base sur $F(x) = \int_{a'}^{b'} \tilde{f}(x,y) dz$ ou $\sum_{y=a'}^{b'} \tilde{f}(x,y)$.

Sommutations et intégrations itérées

(Chyzak, 2000) + (Bostan, Chyzak, Pech, van Hoeij, 2011) :

- ① Remplacer $P = p_r(x)\partial_x^r + \dots + p_0(x)$ par $P = \sum_{0 \leq i+j \leq r} p_{i,j}(x,y)\partial_x^i \partial_y^j$
 permet de calculer $\text{ann}\tilde{f}$ pour :

$$\tilde{f}(x,y) = \int_a^b f(x,y,z) dz, \quad \tilde{f}_{x,y} = \sum_{z=a}^b f_{x,y,z}, \quad \text{etc.}$$

- ② Appliquer l'algorithme de base sur $\text{ann}\tilde{f}$ + Recombiner les certificats.

Sommutations et intégrations itérées — Combinatoire des marches

(Chyzak, 2000) + (Bostan, Chyzak, Pech, van Hoeij, 2011) :

- ① Remplacer $P = p_r(x)\partial_x^r + \dots + p_0(x)$ par $P = \sum_{0 \leq i+j \leq r} p_{i,j}(x,y)\partial_x^i \partial_y^j$ permet de calculer $\text{ann} \tilde{f}$ pour :

$$\tilde{f}(x,y) = \int_a^b f(x,y,z) dz, \quad \tilde{f}_{x,y} = \sum_{z=a}^b f_{x,y,z}, \quad \text{etc.}$$

- ② Appliquer l'algorithme de base sur $\text{ann} \tilde{f}$ + Recombiner les certificats.

Application (Bostan, Chyzak, Pech, van Hoeij, 2011)

La série génératrice des marches diagonales de tours sur échiquier 3D est

$$G(x) = 1 + 6 \cdot \int_0^x \frac{{}_2F_1\left(\begin{matrix} 1/3 & 2/3 \\ 2 \end{matrix} \middle| \frac{27w(2-3w)}{(1-4w)^3}\right)}{(1-4w)(1-64w)} dw.$$

Point de départ de la preuve : $G(x)$ est donnée par l'intégrale de contour

$$\frac{1}{(2i\pi)^2} \oint \oint \frac{f(s,t/s,x/t)}{st} ds dt \quad \text{pour} \quad \frac{1}{f(s,t,u)} = 1 - \left(\frac{1}{1-s} + \frac{1}{1-t} + \frac{1}{1-u} \right).$$

Au-delà des fonctions ∂ -finies (Chyzak, Kauers, Salvy, 2009)

Algorithmes pour $+$, \times , Σ , \int pour des systèmes dont les solutions sont paramétrées par des fonctions arbitraires.

Principes

- Idéal télescopeur (= ensemble des télescopeurs) :

$$T_f = (\text{ann}f + \Delta_y A_{x,y}) \cap A_x \quad \text{où } A_{x,y} = \mathbb{K}(x,y)\langle \partial_x, \partial_y \rangle \text{ et } A_x = \mathbb{K}(x)\langle \partial_x \rangle$$

- Dimension de Hilbert d'un idéal I :

- mesure finie de l'espace vectoriel $\text{vect}_{\mathbb{K}(x,y)}\{\partial_x^\alpha \partial_y^\beta f\}$ de dimension infinie
- mesure du potentiel d'élimination polynomiale

- **Nouvelle notion** de « **croissance polynomiale** » p de l'algèbre $A_{x,y}$:

- mesure la croissance des degrés des coefficients lors de réductions modulo I (cas classiques : $p = 1$)

- **Borne** sur l'idéal télescopeur : $\dim T_f \leq \dim I + (p - 1) \times \#\{y\}$

Exemples : nombres de graphes, nombres de Stirling, eulériens, de Bernoulli, fonctions dzêta d'Hurwitz, bêta, polylogarithmes, gamma incomplete, etc.

- 1 Introduction au télescopage créatif
- 2 Généralisations à des classes de plus en plus grandes
- 3 Vers la complexité du télescopage créatif
- 4 Utilisation rigoureuse du télescopage créatif
- 5 Perspectives

Facteur limitant : le certificat

Observations expérimentales

- certificats arbitrairement grands :
les numérateurs sont solutions d'ÉDO/ÉRO, par ex. $(x+1)D_x - N$
- certificats en plus de variables que les télescopeurs :
 $P(x, D_x)$ d'ordre r et degré $d \gg r \iff Q(x, y, z)$ de taille d^3
- coefficients grossissent avec le degré :
sous forme développée, $(x+1)^N$ a taille binaire $\Theta(N^2)$

$N = \text{degré de la sortie, « grand »}$

Deux solutions

- Certificat sous **forme compacte** pour la sommation :
 - factorisation des dénominateurs
 - numérateurs codés par des récurrences de taille « petite »
 → complexité binaire $\tilde{O}(N)$ (Bostan, Chyzak, Cluzeau, Salvy, 2006)
- Réduction de Hermite** adaptée à l'intégration bivariée :
 - cas rationnel en complexité arithmétique polynomiale $\mathcal{O}(n^{\omega+4})$
(Bostan, Chen, Chyzak, Li, 2010)
 - cas hyperexponentiel (Bostan, Chen, Chyzak, Li, Xin, 2013)

- 1 Introduction au télescopage créatif
- 2 Généralisations à des classes de plus en plus grandes
- 3 Vers la complexité du télescopage créatif
- 4 Utilisation rigoureuse du télescopage créatif
- 5 Perspectives

Limitations du télescopage créatif

Algorithme de Zeilberger pour $\sum_{k=0}^n \binom{n}{k} = 2^n \rightsquigarrow$
 $(S_n - 2) \binom{n}{k} = \Delta_k \left(\frac{k \binom{n}{k}}{n+1-k} \right)$

- sommation de 0 à $n+1$: comment éviter la **division par 0** ?
- justification automatique a posteriori : **pour quels n et k** ?

Algorithme de Chyzak pour $F(x) = \int_0^\infty f(x,t) dt$ où $f(x,t) = xtJ_0(xt)J_0(t)^4$

$\rightsquigarrow P$ d'ordre 3, Q d'ordre 4 tels que $P \int_0^T f(x,t) dt = [Qf]_{t=0}^{t=T}$

- mais pour chaque $x > 0$, $g = Qf$ **oscille à l'infini** !
- F converge, mais chaque $\int_0^T D_t^i D_x f dt$ oscille.

Limitations du télescopeage créatif

Algorithme de Zeilberger pour $\sum_{k=0}^n \binom{n}{k} = 2^n \rightsquigarrow$

$$(S_n - 2) \binom{n}{k} = \Delta_k \left(\frac{k \binom{n}{k}}{n+1-k} \right)$$

- sommation de 0 à $n+1$: comment éviter la **division par 0** ?
- justification automatique a posteriori : **pour quels n et k** ?

Algorithme de Chyzak pour $F(x) = \int_0^\infty f(x,t) dt$ où $f(x,t) = xtJ_0(xt)J_0(t)^4$

$\rightsquigarrow P$ d'ordre 3, Q d'ordre 4 tels que $P \int_0^T f(x,t) dt = [Qf]_{t=0}^{t=T}$

- mais pour chaque $x > 0$, $g = Qf$ **oscille à l'infini** !
- F converge, mais chaque $\int_0^T D_t^i D_x f dt$ oscille.

Il reste des choses à **prouver après** appel aux algorithmes.

Le cas du théorème d'Apéry (1978) : $\zeta(3) = \sum_{m=1}^{\infty} 1/m^3 \notin \mathbb{Q}$

Lemme clé : Les suites $a_n = \sum_{k=0}^n \binom{n}{k}^2 \binom{n+k}{k}^2$ et

$b_n = a_n \sum_{m=1}^n \frac{1}{m^3} - \sum_{k=1}^n \sum_{m=1}^k \frac{(-1)^m \binom{n}{k}^2 \binom{n+k}{k}^2}{2m^3 \binom{n}{m} \binom{n+m}{m}}$ sont solutions de la même récurrence linéaire d'ordre 2

→ calculable par les algorithmes de Zeilberger et Chyzak

Formalisation dans (Chyzak, Mahboubi, Sibut-Pinote, Tassi, 2014)

- certification a posteriori en Coq des résultats de calculs Maple
- bases de Gröbner + préconditions
→ protocole systématique mais pas algorithmique

$$\begin{cases} n \neq -1 \text{ et } k \neq n+1 \implies c_{n+1,k} = \binom{\dots}{\dots} c_{n,k} \\ n \neq 0 \text{ et } k \neq -1 \implies c_{n,k+1} = \binom{\dots}{\dots} c_{n,k} \end{cases} \implies (n \geq 2 \implies a_{n+2} + \binom{\dots}{\dots} a_{n+1} + \binom{\dots}{\dots} a_n = 0)$$

- 1 Introduction au télescopage créatif
- 2 Généralisations à des classes de plus en plus grandes
- 3 Vers la complexité du télescopage créatif
- 4 Utilisation rigoureuse du télescopage créatif
- 5 Perspectives

Perspectives

- Complétion à la Verbaeten dans le cas non hypergéométrique
 - à commencer par le cas de dimension 2, mixte, par exemple
- Télescopage créatif par résolution rationnelle directe
- Télescopeurs non minimaux
- Bases de Gröbner
 - approches modernes (signatures) pour le non commutatif
 - coefficients polynomiaux et homogénéisation, aussi pour la sommation
- Preuve automatique d'identités sommatoires et intégrales
 - justifiées rigoureusement
 - décorées de préconditions analytiques
 - obtenues et justifiées automatiquement

Perspectives

- Complétion à la Verbaeten dans le cas non hypergéométrique
 - à commencer par le cas de dimension 2, mixte, par exemple
- Télescopage créatif par résolution rationnelle directe
- Télescopeurs non minimaux
- Bases de Gröbner
 - approches modernes (signatures) pour le non commutatif
 - coefficients polynomiaux et homogénéisation, aussi pour la sommation
- Preuve automatique d'identités sommatoires et intégrales
 - justifiées rigoureusement
 - décorées de préconditions analytiques
 - obtenues et justifiées automatiquement

SpecFun = Calcul formel + Preuves formelles